

住友金属工業(株) 中研 正員 山川 純雄
 " " 尾西 正之
 " " ○北坂 照久

1. まえがき

钢管支保工は、モルタル充填、あるいは钢管内にフープ筋を配筋したモルタル充填により、圧縮耐力が、増加するため、大土圧を受けるトンネル用支保工として優れている。钢管支保工は、数ピースに分割されたものを、トンネル内で、フランジ型継手の引張ボルト接合により組立てるが、この継手部の存在が、支保工の応力・変形状態に及ぼす影響については、不明な点が多い。

ここでは、継手を回転バネと考えて、継手に作用する軸圧縮力と曲げモーメントが、継手の回転バネ定数に及ぼす影響について、支保工実大部分模型実験により検討した結果を報告する。

2. 実験方法

2・1 載荷方法 図1に実験装置の概要を示す。軸圧縮荷重と曲げ荷重を作成させる順序にかかわり無く、荷重の重ね合わせができるよう、供試体の両端部は、ピン構造とした。載荷方法は、一定の軸圧縮力Nをかけた後、曲げ荷重Pを増加させ、钢管表面に降伏ひずみが発生したとき、曲げ荷重の載荷を停止した。

2・2 供試体 供試継手は、図2の形状で、継手板の剛性の変化が継手の曲げ剛性に及ぼす影響を調べるために、継手板の板厚を、20mm, 25mm, 30mmの3種類変化させた。

供試体は、直径12" (318.5mm)、長さ3.4mの钢管でその中央に上記供試継手を有するものである。継手板の板厚20mmの供試体では、钢管内にモルタルが充填されているが、25mm, 30mm厚さの継手板を有する供試体は中空である。

2・3 測定項目 梁のたわみ量・継手部とその付近の応力状態・継手フランジ板の変形状態・接合に用いた引張ボルトの軸力を測定した

3. 解析方法

継手を回転バネ(バネ定数K)と考えた力学モデルを、図3に示す。たわみ曲線は、左右対称となり、継手を有するスパン中央部($c \leq x \leq l/2$)では、曲げと軸力を考慮した次式で求めることができる。

$$\delta = \frac{P}{Nk} \sin kx \cdot \cos kx - \frac{P}{Nk} \left(\frac{\frac{N}{2} \cos \frac{k\ell}{2} + k \sin \frac{k\ell}{2}}{\frac{N}{2k} \sin \frac{k\ell}{2} - k \cos \frac{k\ell}{2}} \right) \sin kx \cdot \sin kx - \frac{P}{N} x \quad (1)$$

ここで $k = \sqrt{N/EI}$

(1)式をKについて解くと、次式となる。

$$K = \frac{N}{2k} \frac{k(\frac{N}{P}\delta + c) \sin \frac{k\ell}{2} - \sin kx \cdot \sin(\frac{k\ell}{2} - kx)}{k(\frac{N}{P}\delta + c) \cos \frac{k\ell}{2} - \sin kx \cdot \cos(\frac{k\ell}{2} - kx)} \quad (2)$$

(但し、 $c < x \leq l/2$)

(2)式に、実験で得た、たわみ δ を用いれば、継手のバネ定数Kの値が、実験的に求められる。

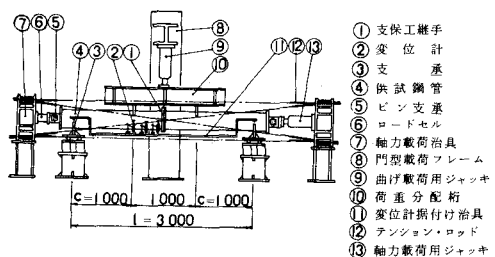


図1 実験装置の概要

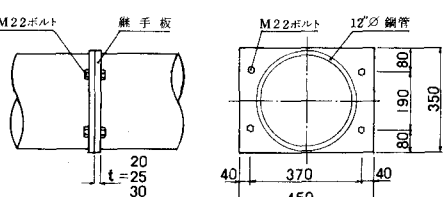


図2 支保工継手部

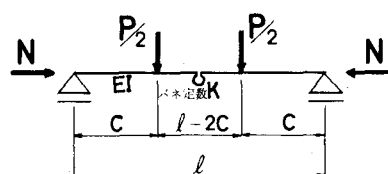


図3 力学モデル

4. 実験結果と考察

図4に、供試体スパン中央での曲げモーメントとたわみの関係の代表例として、継手板厚3.0mmについて示した。図中の破線は継手の無い鋼管の単純曲げ実験の結果である。

軸圧縮力が大きくなるにしたがい、たわみ δ は、小さくなる傾向が認められる。継手のない鋼管においては、軸力 $N = 0$ の場合の結果が示されているが、継手なしの場合のたわみに及ぼす軸力の影響は、継手の回転による、たわみ増分に比べ十分小さいので、継手供試体のM- δ 曲線と比較する場合の基準となる。

軸力 N が70トンを越えると、継手の、たわみに対する影響は、かなり小さくなることがわかる。

次に、前節で述べた方法により、バネ定数を求めた結果を、図5~図7に示す。たて軸に、バネ定数をとり、横軸には、継手に作用する軸圧縮応力と曲げ応力との応力比 σ_M/σ_N をとっている。ここで、 σ_M, σ_N は、それぞれ次に示す鋼管の曲げ及び軸方向応力である。

$$\sigma_M = \frac{M}{Z} = \frac{1}{Z} \left(\frac{P_c}{2} - N_y \right), \quad \sigma_N = \frac{N}{A}$$

Z : 部材の断面係数, A : 部材の断面積

$\sigma_M/\sigma_N \leq 1$ ならば、梁の断面には、圧縮応力のみが生ずるので継手部は、曲げに対して剛撃動を示し、曲げ剛性の低下は起らないはずであるが、供試継手の場合の剛撃領域は、1以下となっており、板厚が薄いと、剛撃領域の減少が激しい。これは、(1)継手端面の平坦度、(2)継手部の応力攪乱、などの理由のために生ずるものと考えられる。引張ボルト接合について、その変形特性を、理論的に解明するのは非常に困難なので、実験的に求めてきたわけである。これらの図から、継手剛性の変化について、次式の関係で表わしうる。

$$K = C \cdot \left(\frac{\sigma_M}{\sigma_N} \right)^n \quad (3)$$

ここで、 C, n は、継手特有の定数

3種の継手について、(3)式の定数 C, n を求めて、まとめたものが、表1で、板厚が厚くなれば継手剛性が高くなっていることがわかる。式(3)で与えられる K は、リングの変形特性をより正確に計算する場合に有用である。

5. 結 言

ここでは、実大部分模型実験により、曲げと軸力を同時にうける支保工継手部の挙動を明らかにした。そして、継手の曲げ剛性について、(3)式で与えられる関係が成り立つことが判明した。この関係式をとり入れた、リングの変形解析法を、今後検討する予定である。

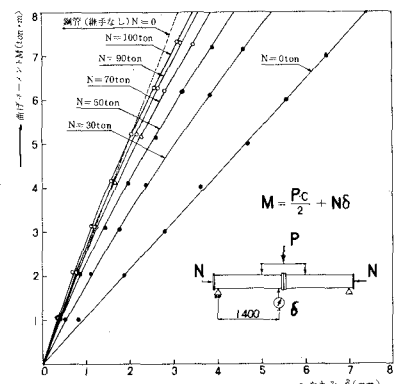


図4 M - δ曲線

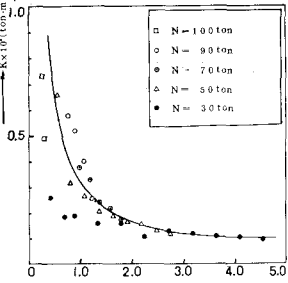


図5 $\sigma_M/\sigma_N - K$ の関係 ($t = 3.0 \text{ mm}$)

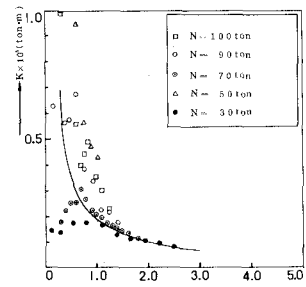


図6 $\sigma_M/\sigma_N - K$ の関係 ($t = 2.5 \text{ mm}$)

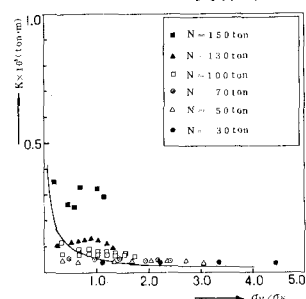


図7 $\sigma_M/\sigma_N - K$ の関係 ($t = 2.0 \text{ mm}$)

表1 継手剛性定数

板厚 (mm)	C	n
2.0	0.06×10^5	- 0.737
2.5	0.19×10^5	- 0.927
3.0	0.32×10^5	- 0.933